

$$\Lambda_{11}^{(q)} = \frac{m^{(q)} n_0^{(q)} D_1^{(q)} \alpha_1^{(q)}}{\rho R T_0}, \quad M_1^{(q)} = \frac{n_0^{(q)}}{T_0} \ln \left(n_0^{(q)} \gamma^{(q)} \right) D_1^{(q)}.$$

Для получения замкнутой постановки задачи на поверхности $\Pi = \partial G$ рассматриваемых тел задаются краевые условия следующего вида:

– кинематические условия:

$$u_r|_{\Pi_u} = f_r(t), \quad \vartheta|_{\Pi_\vartheta} = Q(t), \quad \eta^{(q)}|_{\Pi_\eta} = f^{(q)}(t); \quad (3)$$

– динамические условия:

$$\sigma_r|_{\Pi_\sigma} = f_r(t), \quad \left(q_r + \tau_9 \frac{\partial q_r}{\partial t} \right) \Big|_{\Pi_q} = Q(t), \quad \left(J_r^{(q)} + \tau_\eta \frac{\partial J_r^{(q)}}{\partial t} \right) \Big|_{\Pi_J} = f^{(q)}(t). \quad (4)$$

Полагая, что начальное состояние является невозмущенным, система (2) дополняется нулевыми начальными условиями:

$$\begin{aligned} u(r,t)|_{t=0} = 0, \quad \frac{\partial u(r,t)}{\partial t} \Big|_{t=0} = 0, \quad \vartheta(r,t)|_{t=0} = 0, \quad \frac{\partial \vartheta(r,t)}{\partial t} \Big|_{t=0} = 0, \\ \eta_q(r,t)|_{t=0} = 0, \quad \frac{\partial \eta_q(r,t)}{\partial t} \Big|_{t=0} = 0. \end{aligned} \quad (5)$$

В цилиндрической системе координат физические компоненты тензора механических напряжений, векторов теплового и диффузионного потоков имеют вид

$$\begin{aligned} \sigma_r = c_{11} \frac{\partial u_r}{\partial r} + c_{12} \frac{u_r}{r} - b_1 \vartheta - \sum_{j=1}^N \alpha_1^{(j)} \eta^{(j)}, \quad q_r + \tau_9 \frac{\partial q_r}{\partial t} = -\kappa_1 \frac{\partial \vartheta}{\partial r}, \\ J_r^{(q)} + \tau_\eta \frac{\partial J_r^{(q)}}{\partial t} = \Lambda_{11}^{(q)} \left(\frac{\partial^2 u_r}{\partial r^2} + \frac{1}{r} \frac{\partial u_r}{\partial r} - \frac{u_r}{r^2} \right) - M_1^{(q)} \frac{\partial \vartheta}{\partial r} - \sum_{r=1}^N D_1^{(qr)} \frac{\partial \eta^{(r)}}{\partial r}. \end{aligned} \quad (6)$$

Таким образом, предложена модель, описывающая одномерные термомеханодиффузионные процессы в цилиндрических телах с учетом релаксации тепловых и диффузионных потоков. Постановка (2)–(5) является обобщением модели упругой диффузии, рассматриваемой ранее в работе [2], которая учитывает влияние температуры на механическое и диффузионные поля.

Работа выполнена при финансовой поддержке РФФ (№ 23-21-00189).

Список литературы

- 1 Земсков, А. В. Моделирование механодиффузионных процессов в многокомпонентных телах с плоскими границами / А. В. Земсков, Д. В. Тарлаковский. – М. : ФИЗМАТЛИТ, 2021. – 288 с. – ISBN 978-5-9221-1912-2.
- 2 Зверев, Н. А. Моделирование нестационарных механодиффузионных процессов в полном цилиндре с учетом релаксации диффузионных потоков / Н. А. Зверев, А. В. Земсков // Математическое моделирование. – 2023. – Т. 35, № 1. – С. 95–112.

УДК 539.3, 539.8

МОДЕЛЬ ИЗГИБА ОРТОТРОПНОЙ КОНСОЛЬНО-ЗАКРЕПЛЁННОЙ БАЛКИ БЕРНУЛЛИ – ЭЙЛЕРА ПОД ДЕЙСТВИЕМ НЕСТАЦИОНАРНЫХ ТЕРМОМЕХАНОДИФФУЗИОННЫХ НАГРУЗОК

А. В. ЗЕМСКОВ

*Московский авиационный институт (НИИ),
НИИ механики МГУ им. М. В. Ломоносова, Российская Федерация*

ЛЕ ВАН ХАО, Д. О. СЕРДЮК

Московский авиационный институт (НИИ), Российская Федерация

В работе рассматривается нестационарная задача о плоском термоупругодиффузионном изгибе консольно-закрепленной однородной изотропной балки Бернулли – Эйлера. Математическая постановка представляет собой замкнутую систему уравнений поперечных колебаний балки с учетом

термодиффузии, которая получена с помощью обобщенного принципа виртуальных перемещений из общей модели термоупругой диффузии для сплошных сред с конечной скоростью распространения тепловых и диффузионных потоков [1–3]. Схема приложенных усилий представлена на рисунке 1.

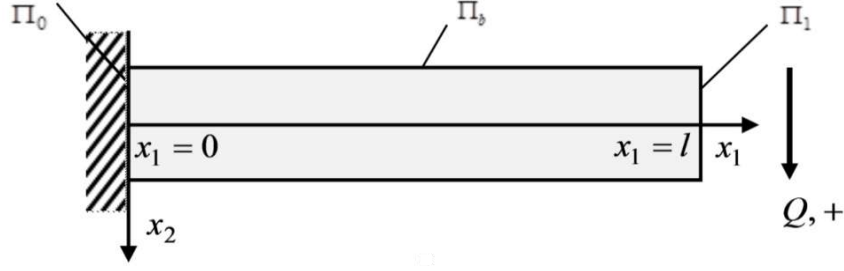


Рисунок 1 – Иллюстрация к постановке задачи

Математическая модель поперечных колебаний балки описывается уравнениями [4] (штрих – производная по продольной координате x_1 , точка – производная по времени):

$$\begin{aligned} \ddot{v}'' - a\dot{v}'' = v^{IV} + b_1\vartheta'' + \sum_{j=1}^N \alpha_1^{(j)} H_j'', \quad a = \frac{F}{J_3}, \\ \sum_{k=0}^M \frac{\tau_0^k}{k!} \frac{\partial^k}{\partial \tau^k} \left(\dot{\vartheta} - B_1 \dot{v}'' + \sum_{q=1}^N v^{(q)} \dot{H}_q \right) = \kappa_1 \vartheta'', \\ \sum_{k=0}^K \frac{\tau_q^k}{k!} \frac{\partial^k}{\partial \tau^k} \dot{H}_q = \sum_{r=1}^N D_1^{(q)} g^{(qr)} H_r'' + \Lambda_{11}^{(q)} v^{IV} + M_1^{(q)} \vartheta'', \quad H_{N+1} = - \sum_{q=1}^N H_q; \end{aligned} \quad (1)$$

все величины в (1) являются безразмерными, для них приняты следующие обозначения:

$$\begin{aligned} x_i = \frac{x_i^*}{l}, \quad v = \frac{v^*}{l}, \quad \tau = \frac{Ct}{l}, \quad \tau_q = \frac{C\tau^{(q)}}{l}, \quad \tau_0 = \frac{C\tau_t}{l}, \quad \theta = \frac{T - T_0}{T_0}, \quad B_\alpha = \frac{b_{\alpha\alpha}}{\rho c_0}, \quad b_\alpha = \frac{b_{\alpha\alpha} T_0}{C_{1111}}, \quad v^{(q)} = R \frac{\ln[n_0^{(q)} \gamma^{(q)}]}{c_0 m^{(q)}}, \\ C^2 = \frac{C_{1111}}{\rho}, \quad \kappa_\alpha = \frac{\kappa_{\alpha\alpha}}{\rho c_0 Cl}, \quad M_\alpha^{(q)} = \frac{n_0^{(q)} D_{\alpha\alpha}^{*(q)}}{Cl} \ln(n_0^{(q)} \gamma^{(q)}), \quad \alpha_\gamma^{(q)} = \frac{\alpha_{\gamma\gamma}^{(q)}}{C_{1111}}, \quad D_\alpha^{(q)} = \frac{D_{\alpha\alpha}^{(q)}}{Cl}, \quad \Lambda_{\alpha\beta}^{(q)} = \frac{m^{(q)} D_{\alpha\alpha}^{(q)} \alpha_{\beta\beta}^{(q)} n_0^{(q)}}{\rho RT_0 Cl}, \end{aligned}$$

где t – время; x_i^* – прямоугольные декартовы координаты; v^* – прогибы балки; l – длина балки; $\eta_q = x_2 H_q$ – приращение концентрации q -й компоненты вещества в составе $N+1$ – компонентной среды; $n_0^{(q)}$ – начальная концентрации q -го вещества; C_{ijkl} – упругие постоянные; ρ – плотность; $\alpha_{ij}^{(q)}$ – коэффициенты, характеризующие объёмное изменение среды за счёт диффузии; $v^{(q)}$ – коэффициенты, характеризующие нагрев среды за счет диффузии; $D_{ij}^{(q)}$ – коэффициенты диффузии; $g^{(qr)}$ – термодинамический множитель Даркена; R – универсальная газовая постоянная; $\theta = x_2 \vartheta$ – приращение температуры; T – актуальная температура среды; T_0 – начальная температура среды; κ_{ij} – компоненты тензора теплопроводности; c_0 – удельная теплоемкость; b_{ij} – температурные коэффициенты, характеризующие деформации за счет нагрева; $m^{(q)}$ – молярная масса q -го вещества; $\tau^{(q)}$ и τ_t – время релаксации диффузионных и тепловых потоков.

Уравнения (1) дополняются начально-краевыми условиями, которые в случае консольного закрепления имеют вид ($x = x_1$)

$$\begin{aligned} v|_{x=0} = 0, \quad \left(v'' + b_1 \vartheta + \sum_{j=1}^N \alpha_1^{(j)} H_j \right) \Big|_{x=1} = 0, \quad \left(v''' + b_1 \vartheta' + \sum_{j=1}^N \alpha_1^{(j)} H_j' - \ddot{v}'' \right) \Big|_{x=1} = f_{22}(\tau), \\ v|_{x=0} = 0, \quad H_q|_{x=0} = 0, \quad v|_{x=0} = 0, \quad \kappa_1 \vartheta'|_{x=1} = 0, \quad \left(\Lambda_{11}^{(q)} v''' - M_1^{(q)} \vartheta' + \sum_{r=1}^N D_1^{(q)} g^{(qr)} H_r' \right) \Big|_{x=1} = 0. \end{aligned} \quad (2)$$

Начальные условия полагаем нулевыми.

Основная проблема заключается в невозможности построения решения задачи (1), (2) в виде рядов Фурье, что осложняет обращение преобразования Лапласа, которое также используется при решении этой задачи. Для преодоления указанной проблемы используется метод эквивалентных граничных условий, описанный в работах [3, 5] и позволяющий выразить решение задачи (1), (2) через известное решение задачи, заданной уравнениями (1) и следующими краевыми условиями:

$$\begin{cases} \left(v'' + b_1 \vartheta + \sum_{j=1}^N \alpha_1^{(j)} H'_j \right) \Big|_{x=0} = f_{11}^*(\tau), \quad v|_{x=0} = 0, \quad \vartheta|_{x=0} = 0, \quad H_q|_{x=0} = 0, \\ \left(v''' + b_1 \vartheta' + \sum_{j=1}^N \alpha_1^{(j)} H'_j - \ddot{v} \right) \Big|_{x=1} = f_{22}(\tau), \quad \kappa_1 \vartheta|_{x=1} = 0, \\ \left(\Lambda_{11}^{(q)} v''' - M_1^{(q)} \vartheta' + \sum_{r=1}^N D_1^{(q)} g^{(qr)} H'_r \right) \Big|_{x=1} = 0, \quad v'|_{x=1} = f_{12}^*(\tau). \end{cases} \quad (3)$$

Здесь граничные условия подобраны таким образом, чтобы имелась возможность искать решение задачи (1), (3) с помощью рядов Фурье. Начальные условия также являются нулевыми. Функции $f_{11}^*(\tau)$ и $f_{12}^*(\tau)$ подбираются таким образом, чтобы решение задачи (1), (3) удовлетворяло краевым условиям (2).

Таким образом построена модель нестационарных колебаний консольно-закрепленной ортотропной балки Бернулли – Эйлера с учетом релаксации тепловых и диффузионных потоков, описывающая взаимосвязь между механическими, температурными и диффузионными полями в сплошных средах. Предложен алгоритм решения задачи об изгибе консольно-закрепленной балки с учетом тепломассопереноса, основанный на использовании преобразования Лапласа, разложений в тригонометрические ряды Фурье, и метода эквивалентных граничных условий.

Работа выполнена при финансовой поддержке РНФ (№ 23-21-00189, <https://rscf.ru/project/23-21-00189>).

Список литературы

- 1 **Князева, А. Г.** Введение в термодинамику необратимых процессов / А. Г. Князева. – Томск : Иван Федоров, 2014. – 172 с.
- 2 **Келлер, И. Э.** Механика сплошной среды. Законы сохранения : учеб. пособие / И. Э. Келлер, И. С. Дудин. – Пермь : ПНИПУ, 2022. – 142 с.
- 3 **Земсков, А. В.** Моделирование механодиффузионных процессов в многокомпонентных телах с плоскими границами / А. В. Земсков, Д. В. Тарлаковский. – М. : ФИЗМАТЛИТ, 2021. – 288 с.
- 4 **Zemskov, A. V.** Bernoulli-Euler Beam Unsteady Bending Model with Consideration of Heat and Mass Transfer / A. V. Zemskov, Van Hao Le, D. V. Tarlavovskii // Journal of Applied and Computational Mechanics. – 2023. – Vol. 9, no 1. – P. 168–180. – DOI : 10.22055/jacm.2022.40752.3649.
- 5 **Zemskov, A. V.** Unsteady bending of the orthotropic cantilever Bernoulli – Euler beam with the relaxation of diffusion fluxes / A. V. Zemskov, D. V. Tarlavovskii, G. M. Faykin // ZAMM Z Angew Math Mech. – 2022. – e202100107. – DOI : 10.1002/zamm.202100107.

УДК 539.3

ИССЛЕДОВАНИЕ РОСТА ПОВРЕЖДЕННОСТИ В КОМПОЗИЦИОННЫХ МАТЕРИАЛАХ

М. Ю. КАЛЯГИН, Л. Н. РАБИНСКИЙ

Московский авиационный институт (НИУ), Российская Федерация

Известно, что наиболее распространенный тип дефекта для многослойных структур – дефект в виде поперечной трещины в слоях с противоположной ориентацией по отношению к действующей нагрузке.

В представленной работе исследуются алгоритмы учета механизмов роста поврежденности в композиционных многослойных структурах при статическом нагружении. Исследовались варианты дефекта, который представляет собой поперечное растрескивание слоев без образования полной поперечной микротрещины, а также развитие межслойных трещин в окрестности поперечных де-